

Bent steel sheet profiles with trapezoidal corrugations for reinforced concrete structures. Specifications

77.140.70

2019-06-01

1

2

3

4

162-

1

2

12.1.004

12.1.044 (4589-84)

12.2.029

12.3.002

164

380

427

1497-84 (6892-84)

3749 90°

7502

7564

7565 (377-2-89)

7566

9045

14918

3.8 :
 3.9 :
 3.10 :
 3.11 :
 3.12 :
 3.13 :
 4
 4.1
 24045.
 4.2 (-),
 - :
 - :
 4.2.1 :
 - 220, 250, 280, 320, 350 52246;
 - 14918.
 4.2.2 - :
 - - ;
 - - ;
 - - () ;
 - - () ;
 4.3 :
 - z - ;
 - - ;
 4.4
 4.5
 5
 5.1
 5.1.1
 52246 - 0,6 1,2 , 275, 220, 250, 280, 320,
 350, 390, 420 450 14918 0,6 1,2 3 3 380.
 1- 08 , 08 9045 1 2 3 10
 2- 140 14918
 5.1.2 52246 14918.
 5.1.3
 19904.
 5.1.4 34180 30246
 5.1.5 5.1.1-5.1.3.
 5.1.6 14918,
 52246.
 5.1.7 30246, 34180
 9.517

5.1.8

5.1.9

5.1.10

28.13330

5.2

5.2.1

5.2.2

10

5.2.3

260.1325800

5.2.4

$\gamma_c = 0,6$.

5.2.5

5.2.6

250

3 12

5.2.7

5.2.8

-1,0-

-2,0-

3

5.2.9

1.

1-

1					
- 20 59 ;					±1,5
- 60 74 ;					±2,0
- 75					±2,5
2					±8,0
3					+6,0*
4	1	1	6	1,5	1
					6
5					1,5
6					3,0
*					

5.2.10

α

1,5t

5.2.11

19904

5.3

5.4

5.4.1

5.4.2

5.4.3

5.4.4

5.5

5.5.1

5.5.2

6

6.1

6.2

6.3

6.4

6.5

6.6

6.7

7

7.1

16523, 17066, 19281.

7565.

2

15846.

7566.

250

0,5-

2%

5.2.7 5.2.9

7.2	28473,	54153.			22536.0,	22536.12,	18895,
7.3			1497	I II	3	1497-84.	
7.4	427,	7564.	164.	5.2.9	7502,		
7.5			427.				
7.6						427	
7.7				427	3749.		
7.8							
7.9							
7.10							
7.11							
8							
8.1							
8.2	50	150	2				100
8.3							
8.4				3000 / 2,	1 2		
8.5							
8.6							
8.7							
8.8						3°	
9	7,	-	3	15150.			
9.1							
9.2	12.2.029.			12.3.002,	30775,	12.1.004,	12.1.019
9.3	()					1.1.1058 [1].	
9.4				12.1.044.			

9.5
10
10.1
10.2
10.3
10.4
10.5

(±10)

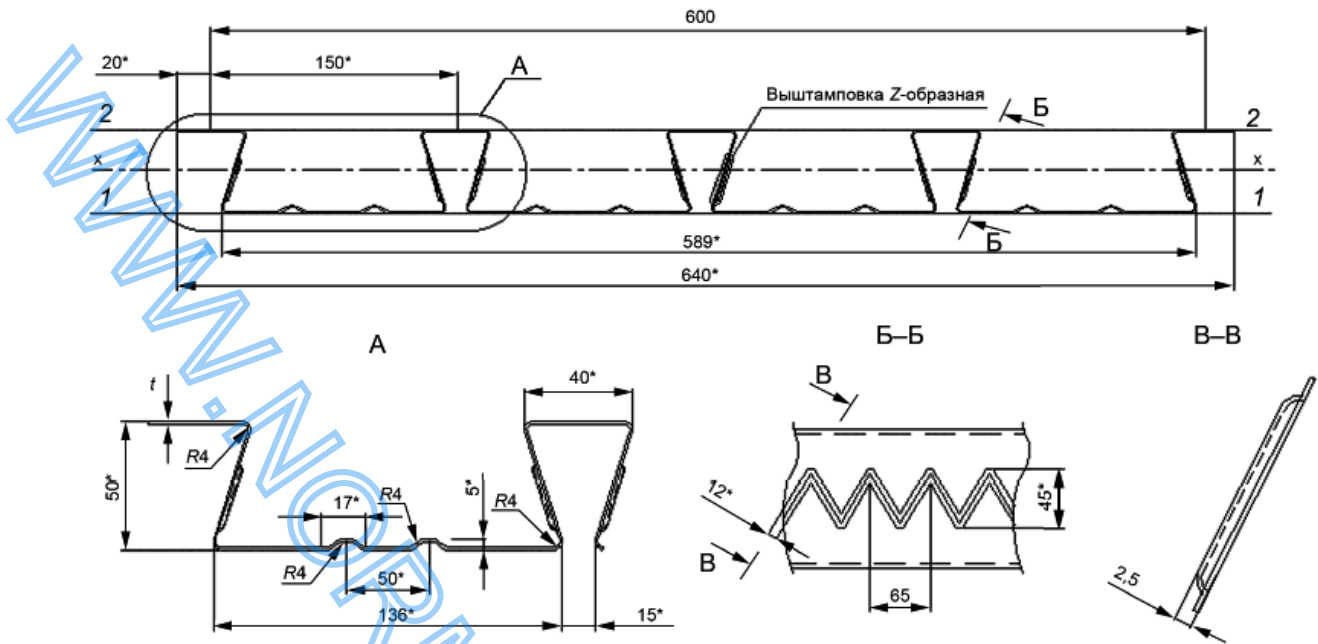
()



1-1 2-2 1-1
 50-600-0,7 3 1-1
 1-1:
 50-600-0,7 3 1 / 1 58389-2019.

()

(. .1- .7 .1- .7)

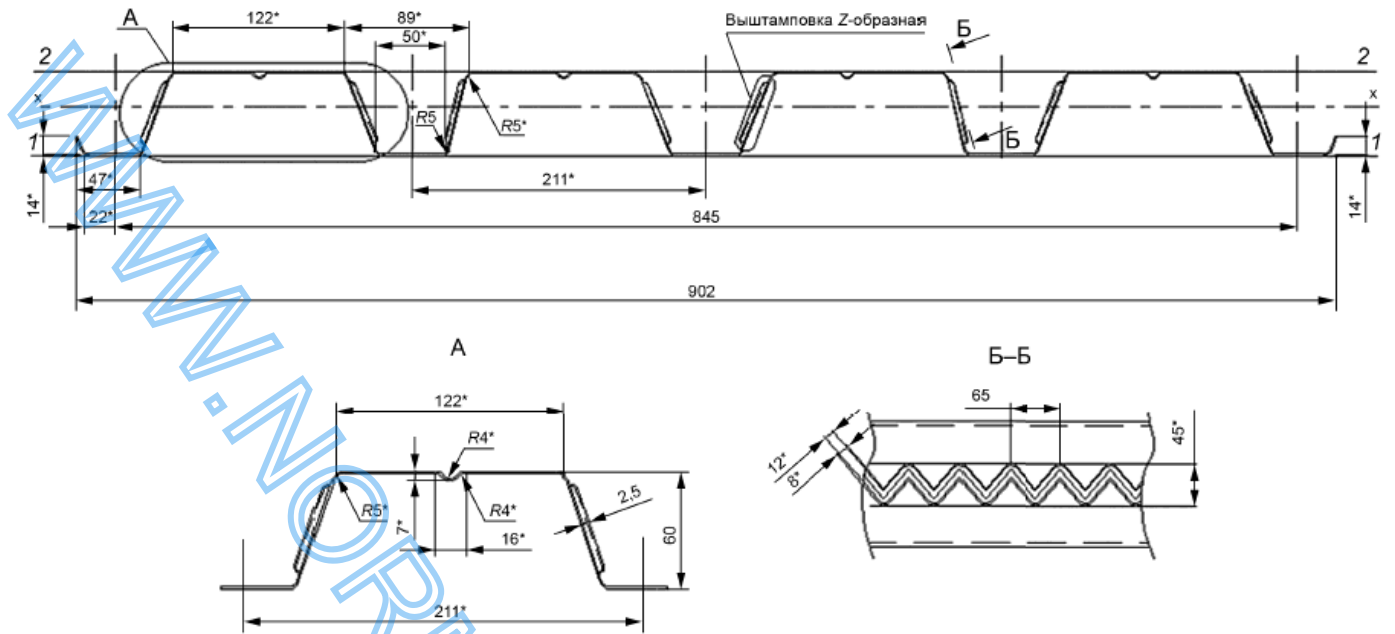


HA50Z-600-t

.1 -

HA50Z-600-t

	t,	2	1	1						1 2,	
				$I_x, 4$			$I_x, 4$				
				$W_{x1}, 3$	$W_{x2}, 3$	$W_{x1}, 3$	$W_{x2}, 3$	$W_{x2}, 3$			
HA50Z-600-0,6	0,60	6,60	5,64	41,95	24,55	11,74	41,88	21,63	12,56	9,40	1100
HA50Z-600-0,65	0,65	7,15	6,07	47,95	26,75	13,17	45,65	26,75	13,17	10,12	
HA50Z-600-0,7	0,70	7,70	6,50	51,45	28,95	14,67	49,32	28,95	14,67	10,83	
HA50Z-600-0,8	0,80	8,80	7,36	58,48	33,30	17,59	56,72	32,45	17,00	12,27	
HA50Z-600-0,9	0,90	9,90	8,23	65,43	37,41	20,13	64,17	38,04	19,20	13,72	
HA50Z-600-1,0	1,00	11,00	9,09	72,23	41,27	22,22	72,23	42,79	21,32	15,15	
HA50Z-600-1,2	1,20	13,20	10,82	85,70	48,89	26,39	85,70	48,89	26,39	18,03	

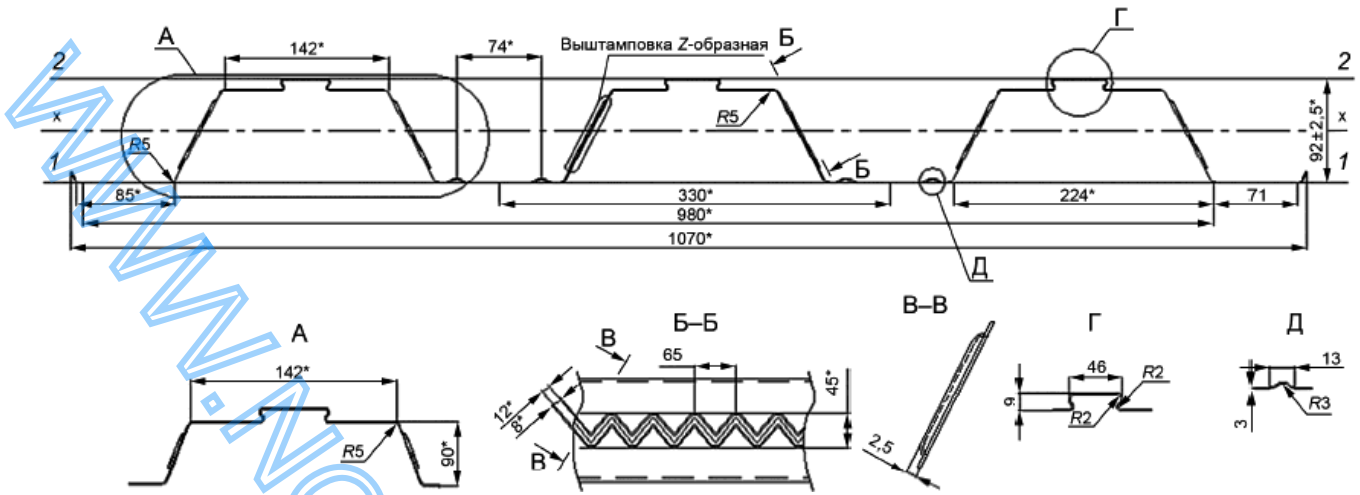


2 -

HA60Z-845-t

HA60Z-845-t

	t,	2	1	1						1	2,
				$I_x,$			$I_x,$				
				4	$W_{x1},$	$W_{x2},$	4	$W_{x1},$	$W_{x2},$		
HA60Z-845-0,55	0,55	6,90	5,90	40,26	11,33	16,46	37,86	15,80	10,08	7,00	1250
HA60Z-845-0,6	0,60	7,50	6,40	45,23	12,75	18,45	44,11	17,62	14,03	7,60	
HA60Z-845-0,65	0,65	8,13	6,90	53,67	13,67	20,72	51,50	19,25	13,75	8,20	
HA60Z-845-0,7	0,70	8,75	7,40	62,12	14,60	24,40	59,15	18,73	15,10	8,70	
HA60Z-845-0,8	0,80	10,00	8,40	70,67	18,47	28,11	69,89	22,72	19,00	9,90	
HA60Z-845-0,9	0,90	11,25	9,30	79,14	20,92	31,82	78,74	27,04	21,52	11,00	
HA60Z-845-1,0	1,00	12,50	10,30	87,15	22,91	39,18	83,02	34,44	23,13	12,50	



*

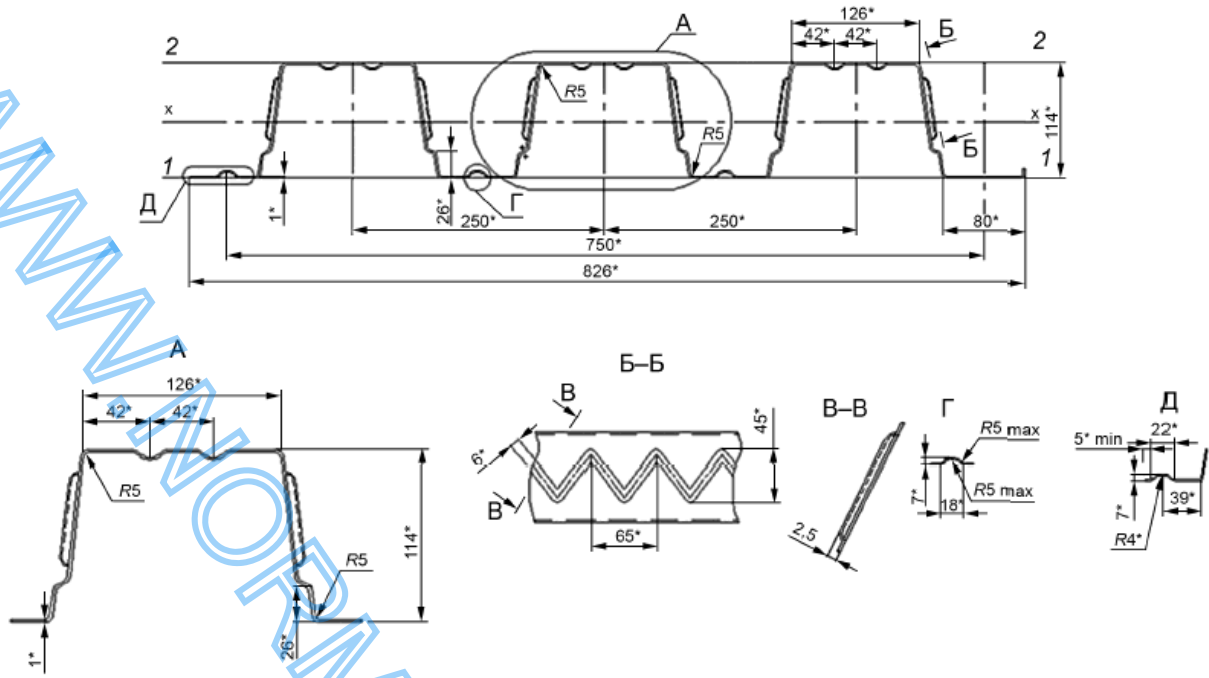
.3 -

.3 -

HA90Z-1000-t

HA90Z-1000-t

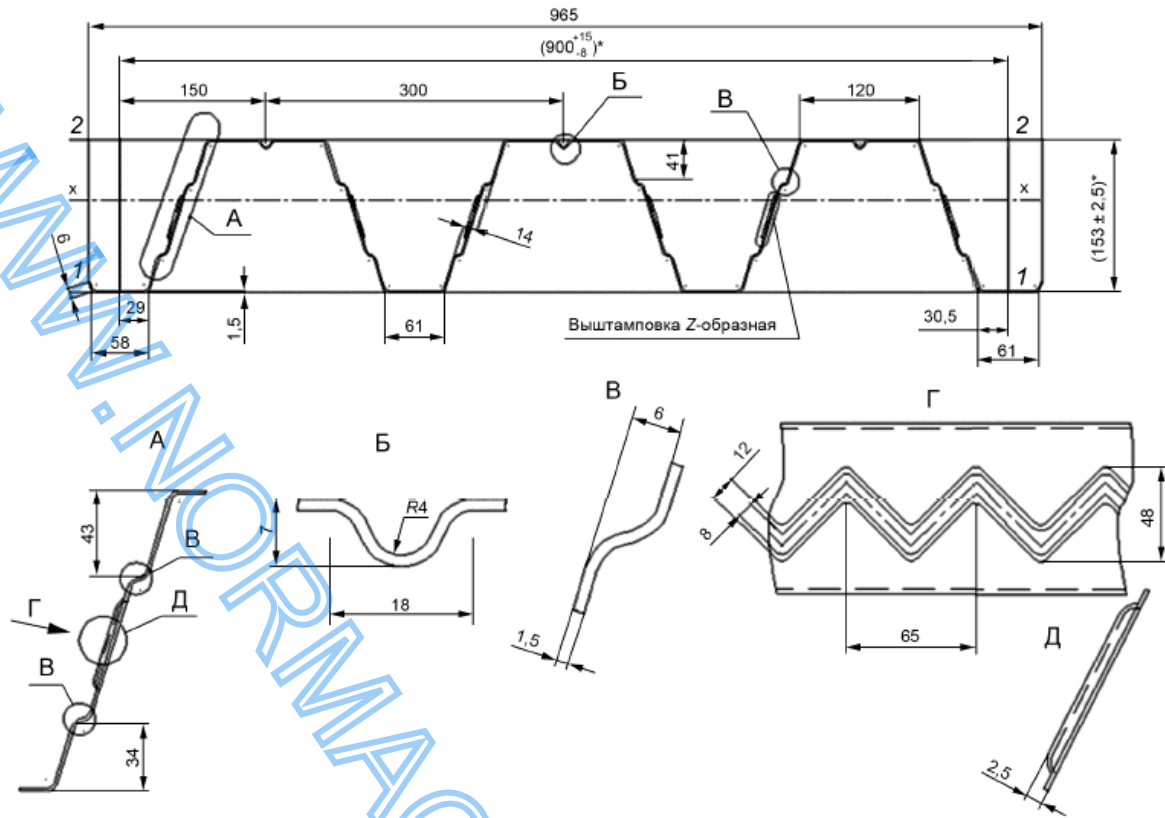
	t,	2	1	1						1	2,	
				I _x , 4			I _x , 4					
				W _{x1} , 3	W _{x2} , 3	W _{x1} , 3	W _{x2} , 3	W _{x2} , 3				
HA90Z-1000-0,55	0,55	7,70	6,66	81,33	20,23	15,73	83,23	21,41	15,70	6,62	1400	
HA90Z-1000-0,6	0,60	8,40	7,20	90,16	22,22	17,53	93,31	23,56	17,81	7,17		
HA90Z-1000-0,65	0,65	9,10	7,70	99,21	24,22	19,37	103,88	25,75	20,07	7,72		
HA90Z-1000-0,7	0,70	9,80	8,30	108,49	26,26	21,32	114,73	27,95	22,42	8,27		
HA90Z-1000-0,8	0,80	11,20	9,40	127,70	30,39	25,35	137,37	32,41	27,48	9,37		
HA90Z-1000-0,9	0,90	12,60	10,50	147,78	34,59	29,63	161,64	36,96	33,06	10,47		
HA90Z-1000-1,0	1,00	14,00	11,60	168,58	38,85	34,05	186,16	41,48	38,84	11,57		
HA90Z-1000-1,2	1,20	16,80	13,80	212,84	47,55	43,94	231,68	50,42	49,03	13,77		



4 - HA114Z-750-t

HA114Z-750-t

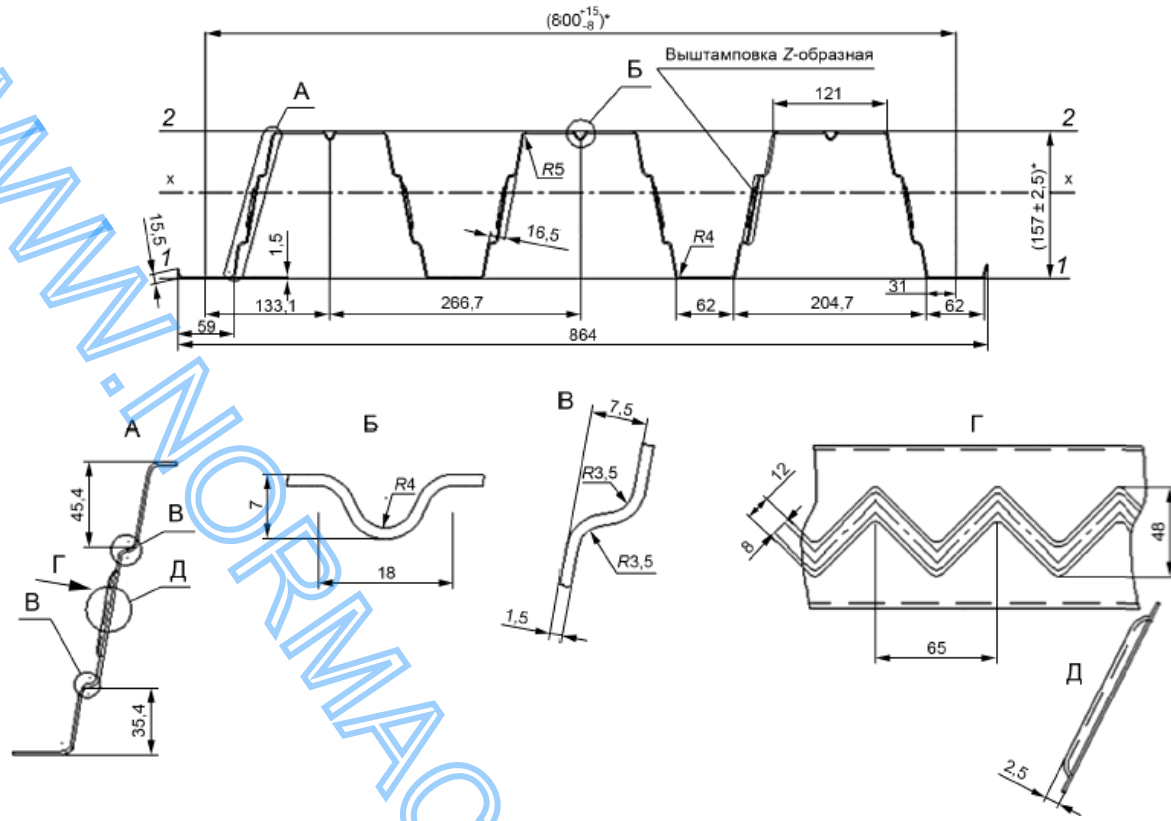
	t,	2	1	1						1	2,
				$I_x,$			$I_x,$				
				$W_{x1},$	$W_{x2},$	$W_{x1},$	$W_{x2},$	$W_{x1},$	$W_{x2},$		
HA114Z-750-0,7	0,70	9,80	8,30	260,10	49,10	41,10	269,70	44,80	50,10	11,00	1400
HA114Z-750-0,8	0,80	11,20	9,40	307,90	51,20	57,10	307,90	51,20	57,10	12,50	
HA114Z-750-0,9	0,90	12,60	10,50	345,20	57,40	64,00	345,20	57,40	64,00	14,00	
HA114Z-750-1,0	1,00	14,00	11,70	383,60	63,80	71,10	383,60	63,80	71,10	15,40	
HA114Z-750-1,2	1,20	16,80	13,80	454,30	83,70	72,20	454,30	75,40	84,50	18,36	



*

.5 - HA153Z-900-t HA153Z-900-t HA153Z-900-t

	t,	2	1	1						1	2,	
				$I_x, 4$			$I_x, 4$					
				$W_{x1}, 3$	$W_{x2}, 3$	$W_{x1}, 3$	$W_{x2}, 3$	$W_{x1}, 3$	$W_{x2}, 3$			
HA153Z-900-0,8	0,80	12,80	10,70	444,10	65,70	52,00	440,50	58,70	56,50	11,89	1600	
HA153Z-900-0,9	0,90	14,40	12,00	510,30	74,50	60,40	521,10	66,70	69,60	13,33		
HA153Z-900-1,0	1,00	16,00	13,20	578,60	83,40	69,20	592,10	74,70	80,30	14,67		
HA153Z-900-1,1	1,10	17,60	14,50	651,10	92,80	78,60	668,00	83,50	91,70	16,11		
HA153Z-900-1,2	1,20	19,20	15,70	724,10	102,00	88,30	746,00	93,40	102,40	17,44		
HA153Z-900-1,3	1,30	20,80	17,00	792,90	110,00	98,00	795,00	98,00	110,00	18,89		
HA153Z-900-1,4	1,40	22,40	18,20	854,00	119,00	105,00	854,00	105,00	119,00	20,22		
HA153Z-900-1,5	1,50	24,00	19,50	924,00	128,00	114,00	924,00	114,00	128,00	21,67		



*

.6 -

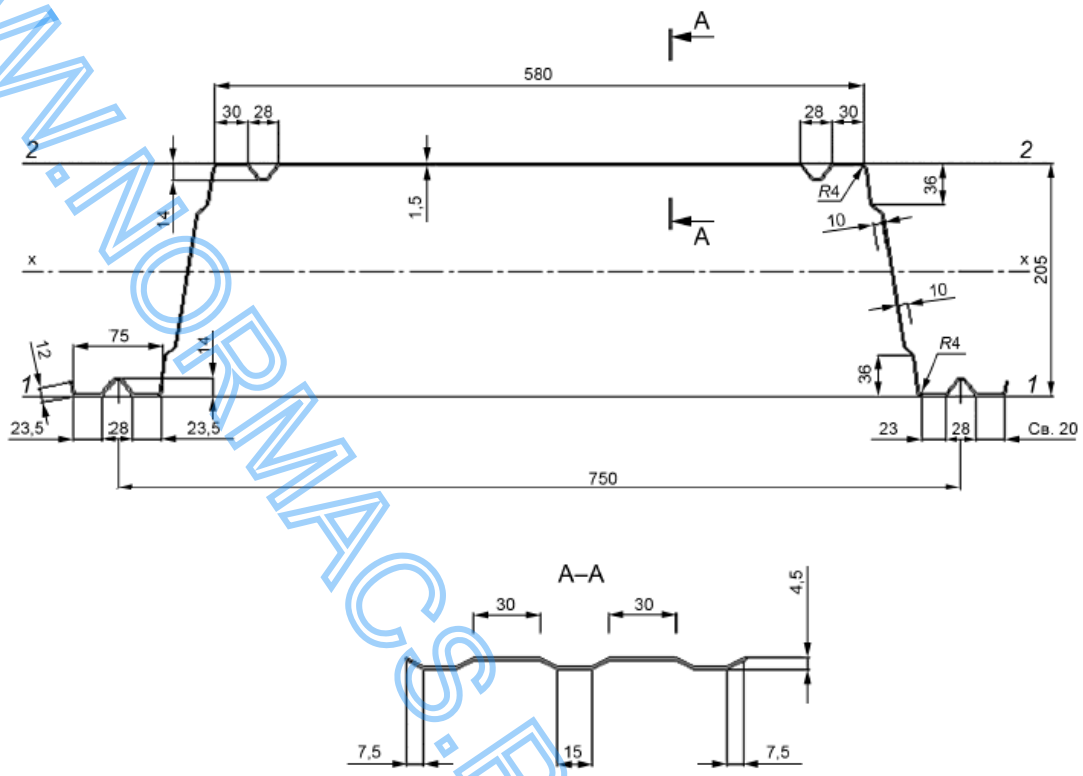
.6 -

HA157Z-800-t

157Z-800-t

	t,	2	1	1						1 2,	
				$I_x,$ 4		$I_y,$ 4		$I_x,$ 4			
				$W_{x1},$ 3	$W_{x2},$ 3	$W_{y1},$ 3	$W_{y2},$ 3	$W_{x1},$ 3	$W_{x2},$ 3		
HA157Z-800-0,8	0,80	12,80	10,70	524,90	75,50	60,00	531,60	63,70	72,30	13,38	1600
HA157Z-800-0,9	0,90	14,40	12,00	603,00	85,70	69,60	613,00	76,10	80,20	15,00	
HA157Z-800-1,0	1,00	16,00	13,20	783,80	95,90	79,80	696,70	85,30	92,50	16,50	
HA157Z-800-1,1	1,10	17,60	14,50	766,30	106,10	90,40	781,90	94,50	105,30	18,13	
HA157Z-800-1,2	1,20	19,20	15,70	850,80	116,40	101,40	862,10	103,40	117,10	19,63	

HA157Z-800-1,3	1,30	20,80	17,00	931,70	126,50	111,80	931,60	111,80	126,50	21,25
HA157Z-800-1,4	1,40	22,40	18,20	1000,70	135,80	120,10	1000,70	120,10	135,80	22,75
HA157Z-800-1,5	1,50	24,00	19,50	1069,50	145,20	128,40	1069,50	128,40	145,20	24,38



*

.7 - 200 -750-t

t	2	1	1						1	2	,
			I_x , 4	W_{x1} , 3	W_{x2} , 3	I_x , 4	W_{x1} , 3	W_{x2} , 3			
200 -750-0,9	0,90	10,77	8,81	559,85	129,21	34,45	412,45	33,71	49,45	11,75	1200
200 -750-1,0	1,00	11,95	9,75	648,92	143,77	40,36	472,51	39,24	55,27	13,00	
200 -750-1,1	1,10	13,15	10,69	737,47	158,17	46,27	528,49	44,31	60,93	14,26	
200 -750-1,2	1,20	14,34	11,63	828,25	172,56	52,39	585,52	49,52	66,64	15,51	
200 -750-1,3	1,30	15,54	12,58	922,03	186,97	58,77	642,99	54,75	72,44	16,78	
200 -750-1,5	1,50	17,94	14,46	1064,76	205,59	68,85	758,75	65,19	84,31	19,28	

[1] 1.1.1058-01

- ()

669.14-423.69:006.354	77.140.70
:	;
:	;
:	;
:	;
